

Zeta電位에 依한 Silicon半導體 界面의 電氣二重層 解析

(An Analysis on Electrical Double Layers at the Silicon Semiconductor Interfaces Using the Zeta Potential)

千 長 鎬*

(Jang Ho Chun)

要 約

실리콘半導體와 電解質 接觸 界面의 電氣物理的 現象을 電氣二重層의 ゼータ電位와 極小電氣泳動을 利用하여 定性的 解析을 하였다. 懸濁液은 p형 또는 n형 실리콘粒子를 KCl溶液 또는 pH緩衝溶液內에 浮遊시켜 準備하였다. 試料로 使用된 p형 및 n형 실리콘半導體粒子의 近似直徑은 $1.5\mu\text{m}$ 이었다. 測定된 p형 및 n형 실리콘半導體의 ゼータ電位極性은 KCl 및 pH완충용액 모두 正이었다. KCl용액내의 p형 및 n형 실리콘의 電氣泳動 移動度 範圍는 각각 $5.5 - 8.9 \times 10^{-4} \text{cm}^2/\text{V}\cdot\text{sec}$ 와 $4.2 - 7.9 \times 10^{-4} \text{cm}^2/\text{V}\cdot\text{sec}$ 이었다. 相應하는 ゼータ電位는 $70.4 - 114.0 \text{mV}$ 와 $53.9 - 101.2 \text{mV}$ 이었다. 反面에 pH완충용액내의 p형 및 n형 실리콘의 電氣泳動 移動度 範圍는 각각 $1.1 \times 10^{-4} - 2.2 \times 10^{-3} \text{cm}^2/\text{V}\cdot\text{sec}$ 와 $0 - 2.1 \times 10^{-3} \text{cm}^2/\text{V}\cdot\text{sec}$ 이며 ゼータ電位는 각각 $14.1 - 281.6 \text{mV}$ 및 $0 - 268.8 \text{mV}$ 이다. 도핑된 실리콘半導體의 ゼータ電位와 電氣二重層의 構造는 電解質內의 陽이온에 依하여 決定的인 形狀를 받았다. KCl溶液內의 最大 ゼータ電位는 10^{-2}M 부근에서 測定되었으며 n형 실리콘의 等電點은 pH 7 부근에서 觀測되었다. 도핑된 실리콘半導體의 空間電荷效果는 表面電荷效果에 比하여 매우 적었다.

Abstract

Electrophysical phenomena at the silicon semiconductor-electrolyte solution interfaces were analyzed based on the zeta potential of the electrical double layer and microelectrophoresis. The suspensions were composed of the p or n-type silicon particles suspended in the KCl or pH buffer solutions. The approximate diameter of the prepared and sampled silicon semiconductor particles was $1.5\mu\text{m}$. The sign of the zeta potentials of the p and n-type silicon particles in the KCl and pH buffer solutions was positive. A range of electrophoretic mobilities of the p and n-type silicones in the KCl solutions was $5.5 - 8.9 \times 10^{-4} \text{cm}^2/\text{V}\cdot\text{sec}$ and $4.2 - 7.9 \times 10^{-4} \text{cm}^2/\text{V}\cdot\text{sec}$, respectively. The range of zeta Potentials corresponding to the electrophoretic mobilities is $70.4 - 114.0 \text{ mV}$ and $53.9 - 101.2 \text{ mV}$, respectively. On the other hand, a range of electrophoretic mobilities of the p and n-type silicones in the pH buffer solutions was $1.1 \times 10^{-4} - 2.2 \times 10^{-3} \text{cm}^2/\text{V}\cdot\text{sec}$ and $0 - 2.1 \times 10^{-3} \text{cm}^2/\text{V}\cdot\text{sec}$, respectively. The range of zeta potentials corresponding to the electrophoretic mobilities is $14.1 - 281.6 \text{ mV}$ and $0 - 268.8 \text{ mV}$, respectively. The zeta potentials and electrical double layers of the doped silicon semiconductors are decisively influenced by the positively charged ions in the solutions. The maximum values of the zeta potentials in the KCl solutions appeared at a concentration of about 10^{-2} M .

The isoelectric point of the n-type silicon semiconductors appeared at about a pH 7. The effect of the space charge of the doped silicon semiconductors can be neglected compare with the effect of the surface charge.

*正會員, 光云大 電子工學科

(Dept. of Elec. Eng., Kwangwoon Univ.)

接受日字：1986年 8月 12日

(※ 本 研究는 韓國科學財團의 1985年度 後半期 研究
支援에 依하여 이루어 졌음.)

I. 序 論

별크(bulk)半導體와 電解質 接觸 界面의 電氣物理的 現象에 關한 最初의 研究가 transistor를 共同 開發한 業績으로 Nobel賞을 受賞한 美國 Bell研究所의 Brattain과 그의 同僚 Garrett^[1]에 依하여 이루어진 以後, 많은 半導體 物理化學者들이^[2] 指摘한 바와 같이 半導體 材料는 金屬 材料에 比하여 特異한 電氣物理的 特性으로 因하여 半導體 電氣化學이라는 新しい 學問分野의 出現을 보게 되었으며 그 内容은 半導體 電氣物理, 表面 및 接觸界面의 電氣物理的 現象이 그主流를 이루어 왔다. 特히 半導體와 電解質 接觸 界面에서도 도핑된 半導體의 接合에서 나타나는 p-n接合 effect가^[3] 있으며 光에너지를 化學的 에너지로 變換시킬 수 있음이 Fujishima와 Honda^[4]에 依하여 提示된 이후 半導體 電解質 界面現象은 電子工學, 物理化學, 電氣化學, Materials 및 풀로이드科學 등등 關聯 學問間의 研究 交流 增進에 크게 기여 해왔다. 그러나 별크半導體 와는 달리 도핑된 半導體粒子와 電解質 接觸界面의 電氣現象은 關聯 國外 專門 學術인 Journal of colloid and interface science에도 거의 보고되지 않았다.^[5-9] 半導體와 電解質이 갖고 있는 다양하고도 特異한 物理 및 化學的 特性을 고려할 때 半導體粒子와 電解質 界面의 電氣物理的 現象은 研究와 關心을 가울여 볼 만한 半導體物性 分野라고 思慮된다.

p-n接合內의 空間電荷層과 空間電荷 效果가 半導體 素子의 基本動作原理가 되었듯이 半導體粒子와 電解質 接觸 界面의 空間電荷層, 表面準位(surface states 또는 levels), 電氣二重層等에 關한 研究는 半導體 界面 研究의 出發點이 된다. 그러나 粒子의 크기가 마이크로미터單位이며 粒子 周圍에 形成되는 電氣二重層의 두께도 그에 相應하므로 實際 測定과 解析에는 어려움과 限界가 있다.^[10,11] 따라서 本論文에서는 物理化學, 表面物理化學, 풀로이드 및 Materials科學, 生體物理學 등에서 重要하게 應用되는 極小電氣泳動(microelectrophoresis)方法으로 제타電位를 決定하여 도핑된 실리콘半導體와 電解質의 界面現象과 電氣二重層을 定性的으로 解析하겠다. 實驗結果와 定性的 解析은 關련 인접학문, 특히 半導體 풀로이드科學과 電氣二重層構造를 갖는 太陽에너지 變換素子,^[12] 半導體 풀로이드 光合成,^[13] 電氣泳動 表示素子,^[14] 分子電子素子,^[15] 등의 基礎研究資料 提供 및 開發應用에 도움이 되리라 期待한다.

II. 半導體粒子와 電解質 接觸 界面의 電氣物理的 現象

1. 空間電荷層과 電氣二重層

半導體內의 自由電荷와 電解質內의 帶電된 이온같이 移動可能한 電荷가 接觸 界面을 中心으로 서로 다른 相(phase), 即 固相과 液相내에 위치하면 半導體와 電解質의 電氣化學의 位置에너지 差에 依한 電荷移動이 接觸 界面를 通過하여 平衡狀態에 到達 할때까지 進行된다. 따라서 接觸 界面을 中心으로 半導體內에는 空間電荷層이, 電解質內에는 이온의 吸着와 吸引 分布에 따라 密集(compact; Helmholtz)二重層과 擴散(diffuse; Gouy)二重層으로 불리우는 電氣二重層이 形成된다. 그림 1의 (a)는 p型 半導體와 電解質 接觸 界面의 酸化膜을 考慮치 않았을 때 形成되는 空間電荷層과 電氣二重層構造를 概略적으로 보여준다. 그림에서 E_c 는 傳導帶內의 最底에너지準位, E_f 는 Fermi準位, E_v 는 價電帶內의 最高에너지 準位를 각각 表示한다. 그림 1의 (b)는 電解質內의 浮遊하는 球形 半導體 粒子 周圍에 形成된 空間電荷層, 表面準位, 電氣二重層의 위치를 보여준다.

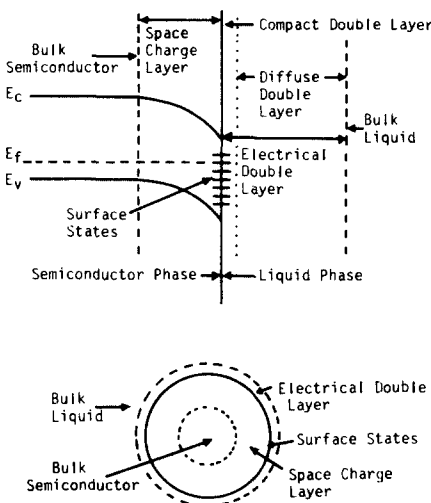


그림 1. p型 半導體와 電解質 界面의 空間電荷層과 電氣二重層

Fig. 1. A space charge layer and an electrical double layer at the p-type semiconductor-electrolyte solution interface.

平衡狀態下에서 空間電荷層內의 空間電荷 分布는 擴散二重層內의 이온 分布와 非常 類似하며 常溫에서 Boltzmann 分布를 따른다. 界面의 同量異種 電荷는 다음과 같은 平衡關係를 갖는다.

$$Q_{sc} + Q_{ss} + Q_{ei} = 0 \quad (1)$$

$$Q_{ss} \equiv Q_{sst} + Q_{ssa} \quad (2)$$

여기서 Q_{sc} 는 空間電荷層內의 空間電荷量, Q_{ss} 는 表面準位內의 表面電荷量, Q_e 은 電氣二重層內의 帶電된 이온電荷量, Q_{sst} 는 半導體 表面의 格子原子 非周期性과 缺陷에 起因한 真性表面準位(intrinsic surface states or levels)內의 電荷量, Q_{ssa} 는 半導體 表面에 吸着된 外的이온에 起因한 吸着이온表面準位(adsorbed ion surface states or levels)內의 電荷量을 각각 나타낸다.

2. Zeta電位

一般的으로 密集二重層의 두께는 靜電氣的 또는 化學的으로 固體 表面에 吸着 또는 吸引된 이온의 直徑으로 表示되며 그 크기는 數 Å으로서 半導體 表面의 吸着이온 表面準位에 영향을 미친다.

反面에 擴散二重層의 두께는 電解質의 濃度, 이온價, 絶對溫度, 誘電常數 등의 關係로 表示되는 Debye 길이로 나타낼 수 있으며 數 10 Å 또는 數 1000 Å의 크기를 갖는다. 擴散二重層內의 이온電荷에 依한 電位分布는 Poisson-Boltzmann 方程式으로 決定할 수 있으며 電解質內에 浮遊하는 半導體 粒子 周圍에 형성된 擴散二重層內의 電位差는 測定 및 解析에 限界性이^{[16][17]} 있으나 極小電氣泳動 方法에 依하여 決定 및 解析할 수 있으며 이때의 電位를 세타(Zeta; ξ)電位라고 부른다. 따라서 極小電氣泳動 方法은 半導體와 電解質 界面間의 空間電荷 및 表面電荷의 效果, 吸着 및 吸引된 이온의 種類, 電荷量, 表面準位 狀態 등을 解析할 수 있는 有用한 測定方法이 될 수 있다. 電解質內에 浮遊된 半導體 粒子는 電解槽에 ین가된 外部電界에 依하여 帶電된 狀態에 따라 漂移移動을 시작하여 電氣力과 粘性力이 均衡을 이룰 때 定常狀態가 되며 이로부터 界面現象 解析에 關한 重要한 パラメ터인 세타電位를 決定할 수 있다. 이러한 電氣力動學的過程에 關한 詳細한 解析은 어려 文獻에서^{[16][17]} 찾을 수 있으며 Helmholtz-Smoluchowski 方程式에^{[16][17]} 依하여 粒子 모양에 關聯없이 세타電位는 다음과 같이 주어진다.

$$\xi = \frac{\eta\mu}{\epsilon} \quad (\text{단 } kr > 100) \quad (3)$$

$$\xi = \frac{2\eta\mu}{3\epsilon} \quad (\text{단 } kr < 100) \quad (4)$$

$$\mu = \frac{v\sigma}{J} \quad (5)$$

$$k = \left(\frac{\epsilon kT}{2\pi Z^2 q^2} \right)^{\frac{1}{2}} \quad (6)$$

여기서 ξ 는 粒子가 電解質內에서 漂移移動時 剪斷面에 依する 電位, 即 세타電位, η 는 液體의 粘性度, μ 는 電氣泳動移動度, ϵ 는 液體의 誘電常數, v 는 漂移速度, σ 는 比傳導度, J 는 電流密度, k 는 Debye 길이의 逆數, r 은 粒

子의 半徑, k 는 Boltzmann常數, T 는 絶對溫度, n 은 電解質濃度, Z 는 이온價, q 는 電子電荷量의 絶對值이다. 式(3)으로 表示되는 Helmholtz-Smoluchowski 方程式은 대부분의 實驗 및 解析에 無理 없이 適用된다.^[18]

III. 半導體 試料 및 實驗 方法

1. 半導體 試料 및 電解質

半導體 試料로는 相異한 空間電荷 效果를 考慮하여 基本半導體로서 도핑된 실리콘半導體를 使用하였다. p形은 boron 原子로($1.9 \times 10^{16}/\text{cm}^3$) 도핑되었으며 n形은 phosphorus 原子로($3.4 \times 10^{14}/\text{cm}^3$) 도핑된 wafer를 使用하였다. 極小電氣泳動 測定에 適合하게 하기為하여 半導體 粒子는 高強度의 셰라믹(alumina) 乳鉢에 研磨하여 配비한 후 標準體(325mesh)로 샘플링하였다. 샘플링된 실리콘粒子의 分析은 美國 Micromeritics社의 Sedigraph 5000D 粒子分析機를 使用하였으며 粒子크기의 分布는 그림 2와 같다. 그림에서 수직축은 累積質量百分率을, 수평축은 실리콘粒子의 直徑을 나타낸다. 最終的으로 極小電氣泳動 測定에 使用된 실리콘粒子의 크기와 濃度의 近似值는 각각 $1.5\mu\text{m}$ 와 $1.0 \times 10^{-5}\text{ g/ml}$ 이었다.

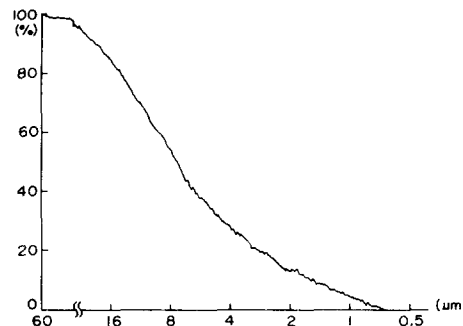


그림 2. 累積分布曲線에 依한 실리콘粒子 크기의 分布
Fig. 2. A distribution of the silicon particle sizes as a cumulative distribution curve.

電解質은 도핑된 실리콘粒子 表面에 吸着 또는 吸引된 이온電荷의 電氣極性과 1:1이온價에 依한 電氣二重層構造와 空間電荷 및 表面電荷 效果 등을 考慮하여 KCl溶液을, 等電點(isoelectric point; IEP)과 H^+ 및 OH^- 이온에 依한 吸着 effect 등을 考慮하여 pH緩衝溶液(buffer solution)을 각각 使用하였다.

2. 極小電氣泳動 測定

一般的으로 半導體가 갖는 表面準位의弛緩時間

(relaxation time)^[19]을考慮하여 샘플링된 실리콘粒子를電解質내에浮遊시킨懸濁液은 90分以上振盪器로振盪하였으며, 이러한過程에서極小電氣泳動에適合하지 않은粒子들은沈澱分離되는效果도 얻었다. 잘振盪된懸濁液은矩形斷面積($1\text{mm} \times 10\text{mm}$)을 갖는平面電解槽에 넣은後, 白金電極을使用하여外部電界를電解槽내에인가하였다. 平面電解槽의 内面과電解質의接觸界面에서自然發生되는電位差에依한流體移動效果를^[20]考慮하여外部電界가인가되지않았을때使用된平面電解槽내의流體即電解質移動速度가零인位置인停狀準位(stationary level)는 Komagata方程式에依하여 다음과같이주어진다.^[21]

$$\frac{s}{d} = 0.500 - \left[0.0833 + \frac{32d}{\pi^5 l} \right]^{\frac{1}{2}} \quad (7)$$

여기서 s 는平面電解槽内前面(또는後面)으로부터停狀準位까지거리, d 는平面電解槽의內幅, l 은平面電解槽내의높이를各各表示한다. 使用된平面電解槽의 d 는 1mm , l 은 10mm , 따라서停狀準位 s 는 0.194mm 이며美國Starrett社의高精密マイクロミ터($0.002\text{mm}/\text{division}$)를使用하여決定하였다. 帶電된 p형 및 n형 실리콘粒子의停狀準位에서漂移速度는英國Bank Brothers社Mark II極小電氣泳動測定裝置로各各의測定點에서 20番以上測定하여 그平均值를利用하였다. 그림3은極小電氣泳動測定裝置의概略圖로서動作原理는여러文獻에서찾아볼수있다.^[22]

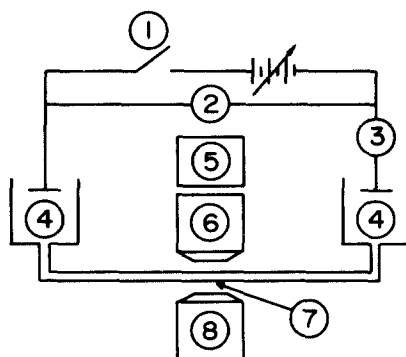


그림3. 極小電氣泳動測定裝置의概略圖

- ① 스위치
- ② 전압계
- ③ 암페터
- ④ 白金電極
- ⑤ 光원
- ⑥ 暗界콘덴서
- ⑦ 平面電解槽
- ⑧ 顯微鏡

Fig. 3. A schematic diagram of microelectrophoresis measurement apparatus.

- ① switch
- ② voltmeter
- ③ ammeter
- ④ platinum electrodes
- ⑤ light source
- ⑥ dark field condenser
- ⑦ flat cell
- ⑧ microscope

IV. 實驗結果

常溫同條件下에서測定된 p形及n形 실리콘粒子의表面電荷 및 제타電位極性은 KCl溶液과 pH溶液 모두正이었다. KCl溶液내에서 p形 및 n形 실리콘粒子의電氣泳動移動度의範圍는各各 $5.5 - 8.9 \times 10^{-4} \text{cm}^2/\text{V}\cdot\text{sec}$ 와 $4.2 - 7.9 \times 10^{-4} \text{cm}^2/\text{V}\cdot\text{sec}$ 이었다. 이에相應하는 제타電位는 Helmholtz-Smoluchowski方程式(3)에依하여決定되며範圍는各各 $70.4 - 114.0 \text{mV}$ 와 $53.9 - 101.2 \text{mV}$ 이다. KCl溶液의 log mole濃度와 제타電位關係는 그림4에圖示되었으며 p形及n形 실리콘의最大제타電位는 모두 10^{-2}M 부근에서測定되었다. 反面에 pH溶液내에서 p形 및 n形 실리콘粒子의電氣泳動移動度範圍는 $1.1 \times 10^{-4} - 2.2 \times 10^{-3} \text{cm}^2/\text{V}\cdot\text{sec}$ 와 $0 - 2.1 \times 10^{-3} \text{cm}^2/\text{V}\cdot\text{sec}$ 이었다. 相應하는 제타電位는各各 $14.1 - 281.6 \text{mV}$ 와 $0 - 268.8 \text{mV}$ 이다. 그림5는 pH와 제타電位의關係를보여주며 n形 실리콘粒子의等電點(IEP)은 pH7부근에서觀測되었다.

V. 제타電位 考察

一般的으로 도핑된半導體의空間電荷層은表面의靜電氣의 또는化學的吸着 등을 고려치 않으면自由搬送子의空乏에起因하여 p形半導體는負로n形半導體는正으로各各帶電된다. 따라서p形과n形 실리콘半導體의電氣泳動移動度와 제타電位極性은 서로反對가되어야 한다. 그러나 이러한豫測과는달리 KCl 및 pH溶液 모두正이었다. 即 實驗結果는 도핑된 실리콘半導體의形(p 또는n)에相關없이粒子表面은正, 그周圍擴散二重層은負로各各帶電되어 있음을定性的으로보여주었다. 따라서KCl溶液내의正

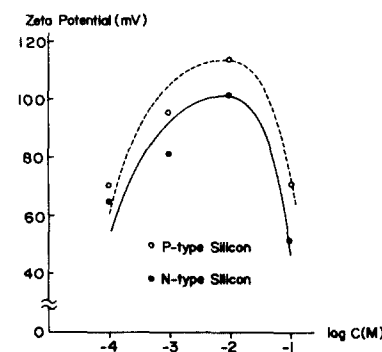


그림4. 도핑된 실리콘半導體의 제타電位에對한log mole濃度의效果

Fig. 4. The effect of log molar concentrations for zeta potentials of the doped silicon semiconductors.

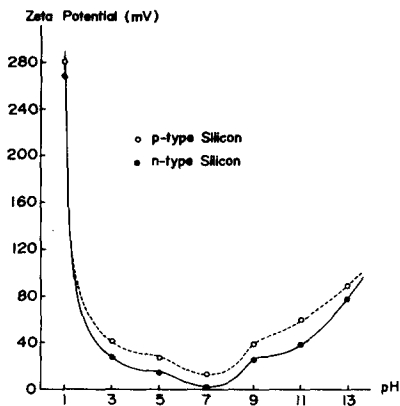


그림 5. 도핑된 실리콘半導體의 제타電位에對한 pH效果

Fig. 5. The effect of the pH for the zeta potentials of the doped silicon semiconductors.

으로 帶電된 K^+ 이온은 실리콘半導體내의 空間電荷層과 空間電荷에는 별상관없이 強하게 表面에 吸着된다고 推定할 수 있다. 그림 4의 實驗結果로부터 실리콘半導體와 KCl溶液界面現象은 K^+ 이온의 吸着效果와 電氣二重層構造로써 다음과 같이 定性的 解析을 할 수 있다. 底濃度의 KCl溶液에서, 化學的으로 吸着된 K^+ 이온量은 적으므로 擴散二重層내에 靜電氣的으로吸引된 Cl^- 이온量도 적게 된다. 따라서 式(6)의 逆數로 表示되는 Debye 길이에 比例하는 긴(두꺼운) 擴散二重層構造를 가짐에도 불구하고 제타電位는 낮게 된다. KCl溶液濃度가 커지면 擴散二重層내에 靜電吸引되는 Cl^- 이온量도 增加하므로 제타電位도 커진다. 그러나 KCl溶液濃度가 限界值以上으로 커지면 表面上에 吸着된 K^+ 이온은 飽和蓄積되기 시작하여 이온세기의 增加에 依한 Debye 길이 및 擴散二重層構造의 收縮에 따라서 마침내 제타電位는 減少하게 된다.

그림 5의 實驗結果로부터도 도핑된 실리콘粒子의 表面과 擴散二重層은 空間電荷層과 空間電荷, pH값에 相關없이 각各 正 및 負로 帶電되어 있음을 定性的으로理解할 수 있다. 反面에 제타電位가 零이 되는 等電點이 n形 실리콘半導體에서 pH7일때 觀測되었으나,一般的인 세라믹(例; TiO_2 , Al_2O_3 等)^[23]에서 나타나는 等電點을 前後로 한 제타電位 極性의 變化는 觀測되지 않았다. 만일 pH緩衝溶液内에 H^+ 와 OH^- 이온만이 存在한다면 H^+ 이온만이 도핑된 실리콘半導體의 表面準位와 表面電荷를支配하며, 실리콘半導體의 空間電荷와 pH값에 關係없이 제타電位의 極性이 正임은 H^+ 이온(또는 다른 陽이온)의 表面吸着은 靜電氣的이 아닌

化學的 要因 때문에 解析할 수 있다. 一般的으로 帶電된 이온의 化學的吸着은 靜電氣的吸着보다 매우 強하며 帶電된 固體(半導體)의 表面電氣極性과 同一極性이라도 吸着은 계속維持된다.^[24] pH 1~7範圍에서 실리콘半導體 表面上에 吸着된 H^+ 이온은 pH값의 增加에 따라 減少하므로 擴散二重層內에 靜電氣的으로吸引되는 OH^- 이온量도 減少하므로 結局 제타電位는 最小值 또는 等電點(IEP)으로 減少하게 된다. 그러나 pH 8~13範圍에서는, 앞에서 이미 指摘한 바와 같이, 豫測과는 달리 제타電位의 極性變化도 없었으며 크기도 pH값의 增加(OH^- 이온量의 增加)에 따라 커지는 界面現象을 보였다. 특히 pH 8~13인 알카리性溶液에서 실리콘表面의 酸化膜溶解現象은^[25] KCl溶液의 경우보다 界面現象 解析에 더 큰 어려움이 있다.

같은 條件下에서 p形 실리콘의 제타電位가 n形에 比하여 相對的으로 커진 것은 p形 실리콘半導體의 도핑濃度가 n形 보다 높았으며, 또한 p形 실리콘半導體內의 負空間電荷와 陽이온(K^+ , H^+)과의 靜電吸引力에起因한 擴散二重層內의 Cl^- 또는 OH^- 이온量의 增加때문이라 解析된다.

以上의 實驗結果 考察에서 도핑된 실리콘半導體와 電解質 接觸界面에서 不可避하게 形成되는 表面의 酸化膜 및 光效果 등은 既存의 極小電氣泳動測定方法과 裝置로는 解析하기 어려우며 바로 이러한 어려움 때문에 粒子半導體의 界面現象에 關한 研究報告가 거의 없었다고 思慮된다.^[5, 8, 9]

VI. 結論

도핑된 실리콘半導體의 제타電位, 電氣二重層構造와 特性등에 關한 界面現象은 半導體의 도핑不純物, 種類, 濃度, 空間電荷(Q_{sc})보다는 半導體 表面의 表面準位內에 存在하는 表面電荷(Q_{ss})에 依하여 決定되며 特히 電解質로부터 半導體 表面에 吸着된 陽이온(K^+ , H^+)에 依한 表面電荷(Q_{ssa})의 영향이 決定의이다. 따라서 真性表面準位에 依한 表面電荷(Q_{ssi})效果는 相對的으로 弱化된다. 실리콘半導體 表面의 陽이온 吸着은 化學的 吸着이며 半導體內의 空間電荷層도 變形(蓄積, 反轉)된다. 그리고 아직은 研究 報告되지 않고 있으나 定性的 解析에 뒤따른 定量的 解析, 界面의 酸化膜, 光效果, 새로운 極小電氣泳動測定方法과 裝置 開發 등에 關한 研究 등은 半導體 콜로이드科學 分野의 主要課題이다.

參考文獻

- [1] W.H. Brattain and C.G.B. Garrett, "Experiments on the interface between germanium

- and an electrolyte" B.S.T.J., vol.34, 129, 1955.
- [2] For example: Y.Y. Gurevich and Y.V. Pleskov, In "Semiconductors and semimetals," R.K. Willardson and A.C. Beer, Eds. Academic Press, New York, vol.19, pp.255-328, 1983.
- [3] V.A. Myamlin and Y.V. Pleskov, "Electrochemistry of semiconductors", Plenum, New York, pp.172-177, 1967.
- [4] A. Fujishima and K. Honda, "Semiconductor liquid junction solar cells," Nature London, 238, 37, 1972.
- [5] A.C. Zettlemoyer, "Editors in chief: journal of colloid and interface science," private communication, Sep., 1985.
- [6] J.H. Chun, "The effect of adsorption of Ions at the silicon-Kcl solution interface," *J. Colloid Interface Sci.*, 113, 292, 1986.
- [7] 千長鎬, "Doping된 Silicon半導體와 傳導性溶液接觸 境界面에서 空間電荷의 效果" 大韓電子工學會 夏季綜合學術 論文集, vol. 9, no. 1, 301, 1986.
- [8] S. Goldberg, U.S., Salinity Lab., Private communication, Sep. 1986.
- [9] J. Kiwi, "Federal Inst. of Tech., Switzerland," Private communication Oct. 1986.
- [10] J. O'm. Bockris et al., Eds., "Comprehensive Treatise of Electrochemistry," *The Double Layer*, Plenum, New York, vol.1 1980.
- [11] C.S. Hirtzel and Raj Rajagopalan, "Colloidal phenomena; advanced topics," Noyes, New Jersey, U.S.A., 1985.
- [12] F. Cordon et al. Eds., "Photovoltaic and photoelectro chemical Solar energy conversion," Plenum, New York, 1981.
- [13] M. Schiavello, Ed., "Photoelectrochemistry photocatalysis and photoreactors," Reidel, Dordrecht, Holland, 1985.
- [14] H.I. Refioglu, Ed., "Electronic displays," Wiley, New York, pp.137-173, 1983.
- [15] F.L. Carter, Ed., "Molecular electronic," Devices Dekker, New York, 1982.
- [16] A. Kitahara and A. Watanabe, Eds., Electrical Phenomena at Interfaces, Dekker, New York, pp.102-115, 1984.
- [17] R.J. Hunter, "Zeta Potential in Colloid Science," Academic Press, London, pp. 59-64, 1981.
- [18] S. Hachisu, In, Electrical Phenomena at Interfaces, A. Kitahara and A. Watanabe, Eds. Dekker, New York, pp.99-117, 1984.
- [19] V.A. Myamlin and Y.V. Pleskov, ibid., Plenum, New York, pp.11-12, 1967.
- [20] R.J. Hunter, ibid., Academic Press, London, pp.126-136, 1981.
- [21] S. Komagata, "Kaimen Denki Kagaku Gaiyo," Shokodo, Tokyo, pp.63, 1953.
- [22] R.J. Hunter, ibid., Academic Press, London, pp.150-174, 1981.
- [23] R.J. Hunter, ibid., Academic Press, London, pp.230-231, 1981.
- [24] R.J. Hunter, ibid., Academic Press, London, pp.233-235, 1981.
- [25] V.A. Myamlin and Y.V. Pleskov, ibid., Plenum, New York, pp.86-90, 1967.*

感謝의 글

本研究에 도움을 주신 Dr. A. C. Zettlemoyer (Sinclair Lab., Lehigh Univ., U. S. A.), 閔碩基博士님 (半導體材料研究室, KAIST), 李永吉代理 (三星電子中央研究所), 秦周鉉主任 (三星半導體研究開發室), 김미경氏 (韓國化學研究所), 그리고 研究費支援을 하여 주신 韓國科學材團에 感謝를 드립니다.